

Mo - Sn



1967

Mo - Sn

Allen B.C.

Metals. Metallurgy.

$\Delta H_{mix}$

See. AIIME, 1967, 239,

N7, 1026.

(Cu. Cr - Ag)!

$(\text{Me}_3\text{Sn})_2\text{PMe}$  (TP), 7 14 1970  
VII 4760

$(\text{Me}_2\text{Sn})_2\text{MePC}_2(\text{CO})_5$ ;  $(\text{Me}_2\text{Sn})_2\text{MePMe}(\text{CO})_5(\text{TM})$   
Schumann H., Arbenz D.

J. Organometal. Chem., 1970, 22, N<sup>o</sup> 411-415 (ЧРС.)

Координация переходных металлов с нефтегазо-  
органическими зонисоединениями фосфоратов.

VIII. Родиусский, синтез и координационные  
изомеры бис-(триметилстаниль)-метилфосфата

РНКУмн, 1970

18B147

○ ГБ (9)  
лент. орн.

$\text{SnMo}_5\text{S}_6$

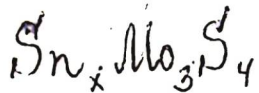
1972

Viswanathan R.,  
Lawson R.C.

(C-Tensoeur.) "Science", 1972, 177,  
N4045, 267-268.

( $\text{Cu}_2\text{Mo}_5\text{S}_5\text{I}$ )

1973



Marozio, M.P. et al.  
Mater. Res. Bull. 1973, 8(G), 657-58.

( $T_{t2}$ )

(cu. Pb-Mo; I)

$[\text{Mo}(\text{CO})_5 \cdot \text{Sn Br}_{3-n} \text{Cl}_n]$  | Bsp-1015-xvii | 1974

Krebs Th., et al.

(Tm) Z. anorg. und allg. Chem.,  
1974, 405, 95-100.

$\text{Sr}_x \text{Mo}_3 \text{S}_4$

1975

Banks C. K.

T62

J. Solid State Chem.  
1975, 15(3) 271-3  
(eng)

(all  $\text{Pb}_x \text{Mo}_3 \text{S}_4$ ; I)

Sn-Mo-S

1976

Bader S.D.

(Ttr)

Phys. Rev. Lett. 1976,  
37(6) 344-8 (eng)

(cub. Pb-Mo-S;

*SnMo<sub>6</sub>S<sub>8</sub>*

1976

9 Б505. Эффект Мессбауэра на SnMo<sub>6</sub>S<sub>8</sub>. Bolz J.,  
Hauck J., Pobel F. Mössbauereffekt von SnMo<sub>6</sub>S<sub>8</sub>.

«Ber. Kernforschungsanlage Jülich», 1976, N Conf 22, 62  
(нем.)

При т-рах 4—300° К исследованы мессбауэровские спектры соединения SnMo<sub>6</sub>S<sub>8</sub>. Спектры представляют собой асимм. квадрупольные дублеты, причем асимметрия сильно зависит от т-ры. Предполагается, что она обусловлена анизотропией амплитуд колебаний атомов Sn в крист. решетке. Т-рные зависимости изомерного сдвига и фактора Дебая — Валлера объясняются наличием структурного фазового перехода вблизи 90° К.

Л. А. Корытко

2. 1977 № 9.

*SnMo<sub>6</sub>O<sub>8</sub>*

*1976*

15 Б660. Смягчение решеточных [колебаний] и анизотропия для позиций Sn<sup>119</sup> в SnMo<sub>6</sub>S<sub>8</sub>. Kimball C. W., Weber L., Van Landuyt G., Gradin F. Y., Dunlap B. D., Shenoy G. K. Lattice softening and anisotropy at <sup>119</sup>Sn sites in SnMo<sub>6</sub>S<sub>8</sub>. «Phys. Rev. Lett.», 1976, 36, № 8, 412—415 (англ.)

(T<sub>tr</sub>) В интервале т-р 4,2—300° К исследованы мессбауэровские спектры (МС) сверхпроводника SnMo<sub>6</sub>S<sub>8</sub> (I), имеющего т-ру перехода в сверхпроводящее состояние  $T_c = 10,8^\circ\text{K}$ . Рентгеноструктурные исследования показали присутствие в I небольшого кол-ва  $\alpha$ -МО. Из МС определено, что в исследуемом образце имеется также ~5%  $\beta$ -Sn. На основании анализа т-риой зависимости асимметрии интенсивностей линий квадрупольного дуб-

*X, 1976, 15.*

лета сделано заключение, что в I колебания атома Sn являются анизотропными. Определены среднеквадратичные смещения  $\langle z^2 \rangle$  и  $\langle x^2 \rangle$  и показано, что  $\langle z^2 \rangle - \langle x^2 \rangle < 0$ . Изучена т-риая зависимость  $\langle z^2 \rangle$  и  $\langle x^2 \rangle$ . Вблизи 80° К наблюдалось резкое изменение вида соотв. кривых. В этом же т-риом интервале обнаружено изменение величины т-рного сдвига МС. Эти факты объяснены смягчением решеточных мод и проявлением ангармоничности. Предположено, что этими же факторами обусловлена высокая т-ра сверхпроводящего перехода и ряд других св-в I.

Л. А. Корытко

In Mo<sub>3</sub> S<sub>8</sub>

1976

Mattias - B. T.

Juf. J. Quantum Chem.  
Symp., 1976, N10, 435-6.

(T<sub>bz</sub>)



(cu. Zn<sub>3</sub> S<sub>4</sub>; T)

M<sub>0.5</sub>-SnS<sub>6</sub> | Comm 5536 / 1977

87: 126081s Specific heat capacity of ternary molybdenum sulfides. I. Lattice and electron contributions to the specific heat capacity of superconducting molybdenum tin sulfide ( $\text{Mo}_0.5\text{SnS}_6$ ) at 2-25 K. Alekseevskii, N. E.; Wolf, G.; Krautz, S.; Tsebro, V. I. (Inst. Phys. Probl., Moscow, USSR). *J. Low Temp. Phys.* 1977, 28(3-4), 381-9 (Eng). The sp. heat was investigated for  $\text{Mo}_0.5\text{SnS}_6$  at 2-25 K. To diminish the crit. temp. of this compd., a small amt. of Fe was introduced. Thus, it was possible to observe the sp. heat in the normal state up to 2 K. The lattice contribution to the sp. heat must be described by a linear combination of the usual Debye and an Einstein function. In agreement with the results of Moessbauer-effect measurements, the Einstein contribution to the lattice sp. heat seems to be connected with the Sn atoms. On the basis of such a lattice contribution, the  $\gamma$ -coeff. of the electronic sp. heat was dstd. With increasing Fe content, a small rise of the  $\gamma$ -coeff. was obsd.

(C<sub>p</sub>)

C.A. 1977, 87 n 16.

139 - VIII- 2104

Mo<sub>5</sub>SnS<sub>6</sub> отмече 5536 1974

i 6678. Теплоемкость тройных сульфидов молибдена. I. Решеточный и электронный вклады в теплоемкость сверхпроводника Mo<sub>5</sub>SnS<sub>6</sub> при 2—25 К. Alekseevskii N. E., Wolff G., Krautz S., Tsebro V. I. Specific heat capacity of ternary molymbdenum sulfides. I. Lattice and electron contributions to the specific heat capacity of superconducting Mo<sub>5</sub>SnS<sub>6</sub> at 2—25 K. «J. Low Temp. Phys.», 1977, 28, № 3—4, 381—389 (англ.)

(C<sub>p</sub>)

Теплоемкость сверхпроводника Mo<sub>5</sub>SnS<sub>6</sub> (I) с  $T_{\text{крит}} = 11,4$  К, I, легированного железом до составов Mo<sub>5</sub>SnFe<sub>0,035</sub>S<sub>6</sub> (II) с  $T_{\text{крит}} = 2$  К и Mo<sub>5</sub>SnFe<sub>0,02</sub>S<sub>6</sub> III с  $T_{\text{крит}} = 6,8$  К измерена в интервале от 2 до 25 К с точностью 1%. Регулярная часть  $C_p$  описывается суммой ф-ций Дебая и Эйнштейна с  $\theta_D = 330$  К и  $\theta_E = 50$  К. Коэф. электронной теплоемкости  $\gamma$  составляет (мДж/К<sup>2</sup>град·моль) для I, II и III 106,2; 119,1 и 137,9 соотв. Обсуждается природа фононного спектра и электронного вклада в  $C_p$ . Опытные данные по электронному вкладу согласуются с расчетными по теории Бардина—Купера — Шриффлера.

Л. Резницкий

Х. 1978

11/1

ВР - ХVIII-2102

*SnMo<sub>6</sub>S<sub>8</sub>*

1978

89: 189374b Structure and properties of tin molybdenum sulfide ( $\text{SnMo}_6\text{S}_8$ ) single crystals. Alekseevskii, N. E.; Dobrovolskii, N. M.; Kiosse, G. A.; Malinovskii, T. I.; Markus, M. M.; Radautsan, S. I.; Samus, D. P. (Inst. Prikl. Fiz., Kishinev, USSR). *Dokl. Akad. Nauk SSSR* 1978, 242(1), 87-9 [Phys.] (Russ). By single-crystal x-ray structural anal., crystals of  $\text{SnMo}_6\text{S}_8$  are hexagonal, space group  $R\bar{3}$ , with  $a$  6.515(2) Å and  $c$  89.936(6);  $d_{\text{exptl.}}$  = 6.0(3), and  $d_{\text{(calcd.)}}$  = 5.769 for  $Z = 1$ . The crystal structure of  $\text{SnMo}_6\text{S}_8$  consists of  $\text{Mo}_6\text{S}_8$  complexes joined in a 3 dimensional framework. The Sn atoms occupy the largest voids in it. The center of gravity of  $\text{Mo}_6\text{S}_8$  units and atoms of Sn occupy sequentially centers of inversion on the 3 axis, forming a deformed lattice of the CsF type. The superconducting transition temp.  $T_c$  for  $\text{SnMo}_6\text{S}_8$  crystals obtained under various conditions was 9-12 K.

*Tc*

C.A. 1978. 89 n22

1978

*Mo<sub>5</sub>SnGa<sub>x</sub>S<sub>6</sub>* 17 Б942. Теплоемкость тернарных сульфидов молибдена. II. Теплоемкость  $Mo_5SnGa_xS_6$  ( $x < 0,3$ ) при низких температурах. Alekseevskii N. E., Wolf G., Grautz S., Dobrovolskii N. M., Tsebro V. J. The heat capacity of ternary molybdenum sulfides. II. The heat capacity of  $Mo_5SnGa_xS_6$  ( $x < 0,3$ ) at low temperature. «J. Low Temp. Phys.», 1978, 30, № 3—4, 535—539 (англ.)

(C<sub>p</sub>)

В продолжение исследований  $C_p$  сверхпроводящих сульфидов Mo определена  $C_p Mo_5SnGa_xS_6$  ( $x = 0; 0,18; 0,22$  и  $0,25$ ) в интервале от 2 до 25 К. Т-ра перехода в сверхпроводящее состояние  $T_c$  определялась индуктивным методом, ширина переходной области для всех образцов  $< 0,3$  К. С возрастанием  $x$   $C_p$  повышается. Опытные данные могут быть аппроксимированы суммой дебаевской и эйнштейновской ф-ций и электронным вкладом  $C_p = (1-a)C(\theta_D) + aC(\theta_E) + \gamma T$ . Для составов с  $x = 0; 0,18; 0,22$  и  $0,25$   $T_c = 11,4; 11,5; 12,8$  и  $13,8$  К,  $\theta_D = 330$  К,  $\theta_E = 50$  К, коэф.  $a$  возрастает от 0,05 до 0,0535,  $\gamma$  от 0,106 до 0,174. Плотность состояний у уровня Ферми возрастает от 0,11 эв атом для  $x = 0$  до 0,7 эв атом при  $x = 0,25$ . Параметр электрон-фононного взаимодействия  $\lambda$  изменяется с увеличением  $x$  от 0,76 до 0,83.

Л. А. Резницкий

БРП - ХВ/11 - З01/7

F, 1978, N14

$\text{SnMo}_5\text{S}_6$

В9-XVII-3100

1.9.78

4 Б779. Мессбауэровские исследования структуры сверхпроводящего сульфида молибдена  $\text{SnMo}_5\text{S}_6$ . Бычков Ю. Ф., Грузин П. Л., Евстюхина И. А., Лиханин Ю. Н. «Физ. мет. и металловед.», 1978, 46, № 4, 714—718.

разовый  
состав

Методами ЯГР, рентгенографич. анализа и измерения сверхпроводящих св-в исследованы фазовый состав и т-ра сверхпроводящего перехода тройного сульфида молибдена  $\text{SnMo}_5\text{S}_6$  в зависимости от содержания олова, а также от содержания легирующих добавок вольфрама и рения. Показано, что соединение  $\text{Sn}_x\text{Mo}_5\text{S}_6$  ( $0,2 < x < 1,2$ ) имеет область гомогенности, верхняя граница к-рой соответствует  $x=0,8$ . Легирование тяжелыми элементами — вольфрамом и рением — замедляет скорость образования сверхпроводящей фазы, приводит к ослаблению сил связи между атомами олова с ближайшими кластерами  $\text{Mo}_6\text{S}_8$  и уменьшает стабильность соединения.

Резюме

2.10.78, 14

$\text{SnMo}_6\text{S}_8$

Он. 15748

1979

в. а. ступников

4 Б984. Исследование физических свойств многокомпонентных халькогенидов молибдена. Алексеевский Н. Е. «Всес. конф. Тройн. полупроводн. и их применение, окт. 1979. Тез. докл.» Кишинев, 1979, 4—6

Исследован переход в сверхпроводящее состояние монокристаллов  $\text{SnMo}_6\text{S}_8$ , а также поликрист. образцов различных составов общей формулы  $M_x\text{Mo}_6X_8$ . Установлено, что различные методы получения поликрист. образцов не должны влиять на основные сверхпроводящие параметры. Данные соединения рассматриваются как неорг. полимеры типа клатратов, в полостях к-рых оказываются захваченными атомы третьей компоненты, что подтверждается отсутствием зависимости т-ры Дебая от природы третьей компоненты. Измерения уд. теплопроводности в интервалах 3—20К показали важность учета эйнштейновского вклада  $C_E$ . Выявлена эмпирич. зависимость  $T_c$  от массы третьей компоненты. В. А. Ступников

$C_p; T_c$

Х. 1950. № 4

*1979*  
*Sn<sub>0.1</sub>Mo<sub>0.5</sub>S<sub>8</sub>*

*(T<sub>cr</sub>)*

*B9 - XII/III - 2099*

4 Б525. Получение монокристаллов  $\text{SnMo}_6\text{S}_8$  и их свойства. Самусь Д. П., Булич О. В. «Всес. конф. Тройн. полупроводн. и их применение, окт., 1979. Тез. докл.» Кишинёв, 1979, 161—162

Монокристаллы  $\text{SnMo}_6\text{S}_8$  (I) получены методом газотранспортных р-ций в галогенидной атмосфере при т-ре гор. зоны  $\sim 1200^\circ$  и  $p \sim 1$  атм из предварительно синтезированных поликристаллов. Монокристаллы I, имевшие форму, близкую к кубич. и линейные размеры 1,5 мм, были исследованы рентгенографически и химически, с помощью разработанной методики хим. анализа для определения компонентов в тройной системе Sn—Mo—S. Установлено, что I обладает сверхпроводо-

дящими св-вами:  $T_c = 11,56$  К при ширине перехода  $0,1$  К и  $dH_{k_2}/dT = 51,7$  кэ·К $^{-1}$ . А. В. Рошина



*3.1980.14*

*SnGa<sub>0,25</sub>Mo<sub>5</sub>S<sub>6</sub>*

1980

6 Е408. Теплоемкость халькогенидов молибдена.  
III. Исследование теплоемкости  $\text{Sn}_{1-x}\text{Ga}_x\text{Mo}_5\text{S}_6$ . Изучение сингулярностей при низких температурах. Specific heat capacity of molybdenum chalcogenides. III. Measurements of the heat capacity of  $\text{Sn}_{1-x}\text{Ga}_x\text{Mo}_5\text{S}_6$ . An investigation of the singularities at low temperatures.  
Alekseevskii N. E., Wolff G., Tsebro V. I., Dobrovolskii N. M., Bohmhammel K., Krautz S. «J. Low Temp. Phys.», 1980, 38, № 1—2, 243—252 (англ.)

( $C_p$ )  
Обсуждаются результаты исследований теплоемкости соединений  $\text{Sn}_{1-x}\text{Ga}_x\text{Mo}_5\text{S}_6$  при т-рах ниже 60° К. Фазы, содержащие олово, характеризуются наличием сверхпроводящего состояния ( $T_c \approx 12,5$ ° К), причем аномалия теплоемкости наиболее выражена для  $\text{SnGa}_{0,25}\text{Mo}_5\text{S}_6$ . В ряде сплавов наблюдается  $\lambda$ -аномалия связанный с магн. разупорядочением ( $T_k \approx 19$ ° К), подавляемая для  $\text{Mo}_5\text{GaS}_6$  полем кэ. Вблизи 45° К для этого соединения имеется особенность, связанная со структурным переходом. Обсуждаются магн. вклады в термодинамич. параметры.

Б. Е. Зиновьев

Ф 1980 № 6

1980

$\text{Sn}_{1-x}\text{Ga}_x\text{Mo}_5\text{S}_6$

$(C_p, T_{\gamma})$

11 Б754. Теплоемкость халькогенидов молибдена.  
 III. Измерения теплоемкости  $\text{Sn}_{1-x}\text{Ga}_x\text{Mo}_5\text{S}_6$ . Исследование сингулярности при низких температурах. Alekseevskii N. E., Wolf G., Tsebro V. I., Dobrovolskii N. M., Bohmhammel K., Krautz S. Specific heat capacity of molybdenum chalcogenides. III. Measurements of the heat capacity of  $\text{Sn}_{1-x}\text{Ga}_x\text{Mo}_5\text{S}_6$ . An investigation of the singularities at low temperatures. «J. Low Temp. Phys.», 1980, 38, № 1—2, 243—252 (англ.)

Продолжено исследование тернарных соединений на основе халькогенидов Mo. Определена  $C_p$  в области 2—60 К в магн. полях до 30 кЭ для  $\text{SnGa}_{0,25}\text{Mo}_5\text{S}_6$  (I),  $\text{SnGa}_{0,5}\text{Mo}_5\text{S}_6$  (II),  $\text{Sn}_{0,5}\text{GaMo}_5\text{S}_6$  (III),  $\text{Sn}_{0,25}\text{GaMo}_5\text{S}_6$  (IV) и  $\text{GaMo}_5\text{S}_6$  (V). С увеличением содержания Ga уменьшается аномалия  $C_p$  в области  $T_{\text{крит}}=12,5$  К, но

2: 1980. VII

более ярко проявляется вторая аномалия в области 19 К, связанная с ферромагнитным превращением. Соединение V является ферромагнетиком, претерпевающим структурное превращение при 45 К. С увеличением магн. поля до 30 кЭ  $\lambda$ -аномалия V в области 19 К сглаживается и исчезает. При  $T \ll 19$  К  $C_{\text{магн}} V = aT^{3/2}$ ,  $a = 14,5$  мдж/К $^{5/2}$ , а при  $T \gg 19$  К  $C_{\text{магн}} = aT^{-2}$ ,  $a = 1,37 \cdot 10^3$  джК/моль. Для обеих т-рных областей  $\theta_D = 134 \pm 3$  К. Поскольку V является полупроводником,  $C_{\text{эл}}$  не выделялась. Отмечены трудности теор. анализа вкладов  $\Delta S$  превращений вследствие близости т-р превращений. С учетом ряда допущений  $\Delta S_{\text{магн}} V$  всегда меньше  $\Delta S_{\text{теор}} = 5R \ln 2$ .

Л. А. Резницкий

1980

*SnMo<sub>6</sub>S<sub>8-x</sub>*

2 Б329. Влияние нестехиометрии по халькогену на сверхпроводимость фазы Шевреля сульфида молибдена и олова. Delk Frank S., Sienko M. J. Effect of chalcogen nonstoichiometry on superconductivity in Chevrel-phase tin molybdenum sulfides. «Inorg. Chem.», 1980, 19, № 3, 788—789 (англ.)

(Tet)

Методом рентгенофазного анализа (камера Дебая-Шеррера) и измерения крит. т-ры сверхпроводимости ( $T_c$ ) изучена область гомогенности фазы  $\text{SnMo}_6\text{S}_{8-x}$  (I), образующейся при спекании стехиометрич. кол-ва элементов при отжиге вначале до 1000°, а затем до 1200° с последующей закалкой на воздухе. Область гомогенности I простирается в границах  $0 < x < 0,5$ , причем с ростом  $x$  параметр с гексагон. решетки I растет от 11,367 до 11,395 Å, а параметр  $a$  остается практически постоянным (9,175 Å). Вакансии в подрешетке атомов S в I связанных с частными положениями на оси 3. Значение  $T_c$  для I возрастает с 11,25 до 13,56 К с увеличением значения  $c/a$ . В кач-ве примесей при получении I образуются  $\text{Mo}_2\text{S}_3$ , неидентифицированная фаза и Mo.

М. Б. Варфоломеев

X.1981 N2

Sn Mo<sub>6</sub> S<sub>8</sub>

1982

Tetj

9 Б833. Сверхпроводящая фаза высокого давления  
сложных сульфидов молибдена  $\text{SnMo}_6\text{S}_8$ ,  $\text{PbMo}_6\text{S}_8$ .  
Алексеевский Н. Е., Евдокимова В. В., Хлы-  
бов Е. П., Новокшонов В. И. «Письма в ЖЭТФ»,  
1982, 35, № 1, 8—9

(4)

X. 1982, 19, N9.

$\text{SrMo}_6\text{S}_8$       Lommick 13817      1982

$\text{SnMo}_6\text{Se}_8$

Alekseevskii N. E.  
Khlybov E. P., et al;

$T_c$ ;

J. Low Temp. Phys.,  
1982, 47, N1-2, 169-177.

$\text{SrMo}_6\text{S}_8$

1982

Mohlfeld C, Pietrass B.

G  $\chi$ . Low. Temp. Phys; 1982,  
48, N5-6, 503-513.

( $\text{crys. Mo}_6\text{S}_8$ ;  $\bar{1}$ )

$\text{Sr}_2\text{Mo}_6\text{S}_8$

1982

Mohlfeld C., Pietrass B.

Gp J. Low. Temp. Phys., 1982,  
48, NS-6, 503-513.

(c.u.  $\text{Mo}_6\text{S}_8$ ; I)

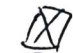
*SnMo<sub>6</sub>S<sub>8</sub>*

*1983*

10 Б3107. Структура кислородных точечных дефектов в SnMo<sub>6</sub>S<sub>8</sub> и PbMo<sub>6</sub>S<sub>8</sub>. Structure of the oxygen point defect in SnMo<sub>6</sub>S<sub>8</sub> and PbMo<sub>6</sub>S<sub>8</sub>. Hinks D. G., Jørgensen J. D., Li H.-C. «Phys. Rev. Lett.», 1983, 51, № 20, 1911—1914 (англ.)

С помощью математич. обработки результатов нейтронографии, в основу к-рой положен метод Ритвельда, построена модель структуры точечных кислородных дефектов в соединениях  $MMo_{6,05+x}S_8O_x$ , где  $M=Sn, Pb$ , образующихся при внедрении  $O$  в решетку. Ионы  $O$  замещают ионы  $S$ , локализуясь вдоль оси  $\bar{3}$ , при этом ионы металлов смещаются на  $\sim 0,8 \text{ \AA}$  к примесным ионам  $O$ , образуя преимущественно ковалентные связи. Влияние кислородных дефектов на связи Mo—Mo и Mo—S в  $Mo_6S_8$  — кластерах незначительно, а на межклUSTERНЫЕ расстояния  $O$  не влияет. Рост величины  $x$  приводит к снижению т-ры перехода в сверхпроводящее состояние у  $MMo_{6,05+x}S_8O_x$  ( $M=Sn, Pb$ ) и уменьшению величины  $c/a$  (отношение осей гексагон. решетки). Л. В. Шведов

*Структура*



*X. 1984, 19, N 10*

$\text{SnO}_2 \cdot 2\text{MoO}_3$

1983

12 Б949. Система  $\text{MoO}_3-\text{SnO}_2$ . Сафонов В. В.,  
Поротников Н. В., Чабан Н. Г. «Ж. неорган.  
химии», 1983, 28, № 3, 811—813

Методами ДТА и РФА изучено взаимодействие компонентов в системе  $\text{MoO}_3-\text{SnO}_2$  в интервале конц-ий 0—50 мол.%  $\text{SnO}_2$ . Подтверждено образование соединения  $\text{SnO}_2 \cdot 2\text{MoO}_3$  ( $t_{\text{пл}} 903^\circ\text{C}$ ). Резюме

$T_m$

X. 1983, 19, N 12

$\text{SnO}_2 \cdot 2\text{MoO}_3$

1983

98: 167891b Molybdenum trioxide-tin dioxide system. Safonov,  
V. V.; Porotnikov, N. V.; Chaban, N. G. (Mosk. Inst. Tonkoi Khim.  
Tekhnol., Moscow, USSR). *Zh. Neorg. Khim.* 1983, 28(3), 811-13  
(Russ). The phase diagram was constructed from DTA and x-ray  
phase anal. data for 0-50 mol %  $\text{SnO}_2$ . The existence of  $\text{SnO}_2 \cdot 2\text{MoO}_3$   
at 490-903° (m. 903°) was confirmed.

Tm;

C.A. 1983, 98, N20

*SnMo<sub>6</sub>S<sub>8</sub>*

*1984*

6 Б3130. Область гомогенности, структура и сверхпроводящие свойства тройного сульфида молибдена. Бычков Ю. Ф., Евстюхина И. А., Лиханин Ю. Н., Соколова О. В. «Физ. мет. и металловед.», 1984, 58, № 4, 703—708

Методами ЯГР, рентгенографич. анализа и измерения т-ры сверхпроводящего перехода исследована обл. гомогенности оловосодержащего тройного сульфида молибдена  $Sn_xMo_yS_z$  в интервале конц-ий:  $0,6 \leq x \leq 1,5$ ;  $5,8 \leq y \leq 6,8$ ;  $7,0 \leq z \leq 8,3$ . Показано, что соединение  $Sn_xMo_yS_z$  имеет обл. гомогенности, расширяющуюся с увеличением т-ры получения образцов. Точка стехиометрии  $SnMo_6S_8$  при т-ре синтеза соединений 1273 К лежит на границе обл. гомогенности, а при более низких выходит за пределы тв. р-ров, т. е. фаза имеет бертоллидный характер.

Резюме

*X·1985, 19, N6*

*Sn Mo<sub>6</sub> S<sub>7.6</sub>*

*1984*

! 102: 120985w Heat capacity of the tin molybdenum sulfide ( $\text{SnMo}_6\text{S}_{7.6}$ ) compound with different degrees of defects. Davydov, S. A.; Arkhipov, V. E.; Goshchitskii, B. N. (Inst. Fiz. Metall., Kiev, USSR). *Fiz. Met. Metalloved.* 1984, 58(6), 1229-32 (Russ). The heat capacities of  $\text{SnMo}_6\text{S}_{7.6}$  samples were measured at 5-300 K before and after irradn. exposure by neutrons ( $5 \times 10^{23} \text{ m}^{-2}$ ). Different contributions (acoustic lattice oscillations, torsion vibration of the  $\text{Mo}_6\text{S}_8$  cluster and Sn atom, optical vibrations of the  $\text{Mo}_6\text{S}_8$  cluster) were evaluated.

*(G)*

*C. A. 1985, 102, N 14.*

1984

 $(CH_3)_2SnMo_4$ 

22 Б2025. Кристаллическая структура диметилолово тетраоксида молибдена,  $(CH_3)_2SnMoO_4$ . Crystal structure of dimethyltin molybdenum tetraoxide,  $(CH_3)_2SnMoO_4$ . Sasaki Yukiyoshi, Imoto Hideo, Nagano Osamu. «Bull. Chem. Soc. Jap.», 1984, 57, № 5, 1417—1418 (англ.)

Проведен РСТА ( $\lambda$  Mo, 879 отражений, МНК в анизотропном приближении,  $R = 0,031$ )  $Me_2SnMoO_4$ . Кристаллы тетрагон.,  $a = 13,705$ ,  $c = 7,271\text{ \AA}$ , ф. гр.  $P4_2/mbc$ . В согласии с данными Мессбауэровской спектроскопии у атома Sn октаэдрич. координация с 2-транс-метильными группами ( $Sn-C = 2,11\text{ \AA}$ ,  $2,12\text{ \AA}$ ,  $C-Sn-C = 172,6^\circ$ ) и 4 атомами O 4 различных  $MoO_4$ -фрагментов ( $Sn-O = 2,17$ ,  $2,34$  и  $2,21\text{ \AA}$ ). У атома Mo тетраэдрич. координация ( $Mo-O = 1,76\text{ \AA}$ ,  $O-Mo-O$  в интервале  $108,5$ — $110,4^\circ$ ). Образовавшуюся 3-мерную структуру можно представить в виде зигзагообразной цепочки  $(-Sn-O-Mo-O-)_\infty$ , вытянутой вдоль оси  $a$  на плоскости при  $z = 0$ , и аналогичной цепи вытянутой вдоль оси  $b$  при  $z = 1/2$ . Эти цепи соединяются с др., находящимися не в одной и той же плоскости, а в разных соседних плоскостях, через атомы O.

Г. Г. Александров

Кристал-  
структураX, 1984, 19,  
N 22

$\text{Sn}_x \text{Mo}_6 \text{S}_{8-\delta}$

1988

(Ptz)

110: 29557n Homogeneity range of tin-molybdenum sulfide ( $\text{Sn}_x\text{Mo}_6\text{S}_{8-y}$ ) at 1000°C and measurement of superconducting critical temperature  $T_c$ . Sato, Kouki; Hinode, Hirofumi; Wakihara, Masataka; Taniguchi, Masao (Dep. Chem. Eng., Tokyo Inst. Technol., Tokyo, Japan 152). *Mater. Res. Bull.*, 1988, 23(7), 993-9 (Eng). Tin-molybdenum-sulfides  $\text{Sn}_x\text{Mo}_6\text{S}_{8-y}$ , known as Chevrel phase compds., were prepd. by vacuum seal technique at 1000° and the single phase region was detd. The nonstoichiometric range of Sn (x) was between 0.80 and 1.20, and that of S (8-y) varied between 6.75 and 7.50. A pos. relationship obtained between x and (8-y). The phase diagram of Sn-Mo-S system at 100° ws established. The rhombohedral lattice parameters were almost const. as  $a_R \approx 6.52 \text{ \AA}$  and  $\alpha_R \approx 9.8^\circ$ . It was difficult to det. the compositional dependence of the lattice parameters. The superconducting crit. temp.,  $T_c$ , of the single phase compds. was measured by using a d.c. four-probe method.  $\text{Sn}_{1.10}\text{Mo}_6\text{S}_{7.0}$  showed the highest  $T_c$  value ( $T_c$ -ON = 13.0 K,  $T_c$ -END = 10.7 K). The relationship between  $T_c$  and the compn. is discussed.

C.A. 1989, 110, N.Y

1990

SnMo<sub>5</sub>O<sub>8</sub>

9 Б2051. Структура SnMo<sub>5</sub>O<sub>8</sub>, содержащая биоктаэдрические кластеры Mo<sub>10</sub>. Structure of SnMo<sub>5</sub>O<sub>8</sub> containing bioctahedral Mo<sub>10</sub> clusters / Gougeon P., Potel M., Sergent M. // Acta crystallogr. C.— 1990.— 46, № 7.— С. 1188—1190.— Англ.

Методом РСТА ( $\lambda$ Mo,  $K_{\alpha}$ , 1690 ненулевых отражений,  $R$  0,033) изучено строение монокл. SnMo<sub>5</sub>O<sub>8</sub> (I), полученного нагреванием в эвакуированном Mo тигле смеси SnO<sub>2</sub>, MoO<sub>3</sub> и металлич. Mo при 2030, 1673, а затем 1273 К. Для I  $a$  7,533,  $b$  9,268,  $c$  9,970 Å,  $\beta$  109,73°,  $Z$  4,  $\rho$ (выч.) 7,363, ф. гр.  $P2_1/c$ . В основе структуры I лежит центросимметричный кластер Mo<sub>10</sub>O<sub>18</sub>, образованный сцеплением через общие ребра (атомы Mo) кластеров Mo<sub>6</sub>O<sub>12</sub>. Димеры Mo<sub>10</sub>O<sub>18</sub> через общие атомы O связаны в бесконечные цепи, параллельные [100]. Цепи также через атомы O связаны в каркас, в к-ром реализуются туннельные пустоты, параллельные [100], в к-рых локализованы атомы Sn, имеющие десятерную координацию, Sn—O 2,278—3,236 Å. Расстояния Mo—Mo в кластерах 2,608—2,844 Å. Каждый атом Mo окружен атомами по тетрагон. пирамиде или октаэдру, Mo—O в пределах 1,950—2,134 Å.

М. Б. Варфоломеев

Структура

X. 1991, № 9

$\text{SrMo}_2$

$x \leq 0.5$

1994

Elizarova N.V., Marushkin K.N. et al.

Kryzor  
manuscript,  
 $(\Delta_3 H)$

Zh. Neorg. Khim.  
1994, 39(5), 784 - 6.

CA 1994, 12, N16, 188680+